

Граф с одной точкой сочленения может рассматриваться как корневой граф с корнем в точке сочленения. Такой граф можно получить склейкой в одну вершину непомеченных корней блоков. После склейки для непомеченной вершины вводится новая метка. Снятию метки с корня соответствует операция деления соответствующей производящей функции на z , а введению метки — операция умножения производящей функции на z [4, 5]. С учётом перестановок блоков вокруг точки сочленения получим

$$C_m(z) = \frac{z}{m!} \left(\frac{R(z)}{z} \right)^m = \frac{z}{m!} \left(\frac{z^3}{6} + \frac{z^4}{2(1-z)} \right)^m = \frac{z^{3m+1}(1+2z)^m}{m!6^m(1-z)^m}.$$

С помощью бинома Ньютона и ряда $(1-z)^{-m} = \sum_{k=0}^{\infty} \binom{k+m-1}{m-1} z^k$ найдём

$$C_m(z) = \frac{z^{3m+1}}{m!6^m} \sum_{i=0}^m \binom{m}{i} 2^i z^i \sum_{k=0}^{\infty} \binom{k+m-1}{m-1} z^k.$$

Следовательно, имеем $FW(n, m) = n! [z^{-1}] C_m(z) z^{-n-1}$, где $[z^{-1}]$ — оператор формального вычета:

$$\begin{aligned} FW(n, m) &= \frac{n!}{m!6^m} [z^{-1}] \sum_{i=0}^m \sum_{k=0}^{\infty} \binom{m}{i} \binom{k+m-1}{m-1} 2^i z^{i+k+3m-n} = \\ &= \frac{n!}{m!6^m} \sum_{i=0}^m \binom{m}{i} \binom{n-2m-i-2}{m-1} 2^i. \end{aligned}$$

Поскольку биномиальный коэффициент обращается в ноль при $m < i$ и $n-2m-i-2 < m-1$, верхний предел суммы равен $r = \min(m, n-3m-1)$. ■

ЛИТЕРАТУРА

1. Харари Ф., Палмер Э. Перечисление графов. М.: Мир, 1977.
2. Bhatti A A., Nisar A., and Kanwal M. Radio number of wheel like graphs // Int. J. Graph Theory in Wireless ad hoc Networks and Sensor Networks. 2011. No. 4. P. 39–57.
3. Brankovic L., Lopez N., Miller M., and Sebe F. Triangle randomization for social network data anonymization // Ars Math. Contemporanea. 2014. V. 7. No. 2. P. 461–477.
4. Jin Y.-L. Enumeration of labelled connected graphs and Euler graphs with only one cut vertex // Yokohama Math. J. 1977. No. 45. P. 125–134.
5. Selkow S M. The enumeration of labeled graphs by number of cutpoints // Discr. Math. 1998. No. 185. P. 183–191.

УДК 519.1+519.173

DOI 10.17223/2226308X/9/43

О ГРАФАХ ПОЛНОГО РАЗНООБРАЗИЯ ШАРОВ¹

А. А. Евдокимов, Е. П. Куценогая, Т. И. Федоряева

Изучается разнообразие шаров в конечных связных обыкновенных графах. Получен ряд свойств графов с полным разнообразием шаров. Как следствие, описаны кактусы с таким разнообразием шаров.

Ключевые слова: граф, метрический шар, радиус шара, число шаров, вектор разнообразия шаров.

¹Работа поддержана грантом РФФИ, проект № 14-01-00507.

В случае дискретных метрических пространств шары заданного радиуса с центрами в различных вершинах не всегда различны, а могут совпадать. Данный эффект, когда шар имеет несколько центров, наблюдается в графах. О проблеме характеристики графов с заданным вектором числа различных шаров можно посмотреть в [1], а о связи свойств структуры шаров в графах и вложениями дискретных метрических пространств — в [2, 3]. Заметим также, что наличие в графе шаров с несколькими центрами позволяет, например, передавать управление с одного центра на другой, оставаясь при этом в зоне контроля или достижимости, определяемой шаром, в случае, например, «отказа» некоторого центра. Постановка подобных вопросов надёжности информационного взаимодействия и обмена данными в пределах заданных областей (окрестностях центров) приводит к задачам исследования взаимосвязей свойств структур или сетей с наличием в них окрестностей с «множественным центром», их числе, возможностей покрытия такими областями всего пространства и т. п. Далее связный конечный граф рассматривается как дискретное метрическое пространство с обычной метрикой пути [4]. Простейший пример графа с отмеченным эффектом даёт так называемый волан.

Определение 1 [5]. Граф $V_k(u, v)$, изображённый на рис. 1, а, называется *воланом на вершинах u, v* . Граф G имеет волан, если в G есть подграф $V_k(u, v)$ и $\deg_G u = \deg_G v = k + 1$ (рис. 1, б).

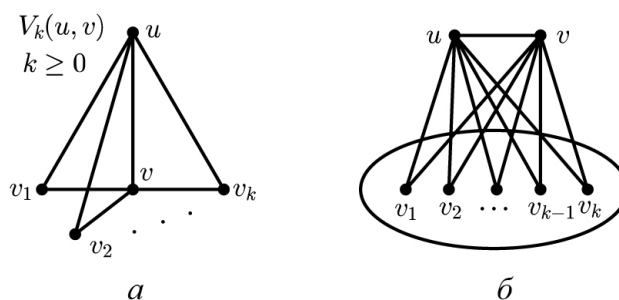


Рис. 1. Волан

Если граф G имеет волан (рис. 1, б), то все шары с различными центрами $u, v \in V(G)$ совпадают для любого радиуса $i \geq 1$ [5].

Пусть $\tau_i(G)$ — число всех различных шаров радиуса i в метрическом пространстве конечного связного графа G .

Определение 2 [6]. Вектор $\tau(G) = (\tau_0(G), \tau_1(G), \dots, \tau_d(G))$, где $d = d(G)$ — диаметр графа G , называется *вектором разнообразия шаров* графа G .

Определение 3 [7]. Граф G обладает *локальным t -разнообразием шаров*, если $|V(G)| = \tau_0(G) = \tau_1(G) = \dots = \tau_t(G)$, $0 \leq t < d(G)$. Граф G с локальным t -разнообразием шаров при $t = d(G) - 1$ называется графом *полного разнообразия шаров*.

Таким образом, вектор разнообразия шаров графа G с полным разнообразием шаров имеет вид $(|V(G)|, \dots, |V(G)|, 1)$. В настоящей работе изучаются свойства конечных связных обыкновенных (т. е. не имеющих кратных рёбер и петель) графов с полным разнообразием шаров.

Теорема 1. Пусть G — граф диаметра $d(G) \geq 3$ с полным разнообразием шаров. Тогда в графе G либо нет мостов, либо имеется единственный мост, один из концов которого является висячей вершиной.

Теорема 2. В классе n -вершинных графов диаметра d существует граф с полным разнообразием шаров тогда и только тогда, когда $n \geq 2d > 0$ или $n = d + 1 = 3$.

Как следствие из найденных свойств получено описание графов с полным разнообразием шаров для *кактусов* — связанных графов, в которых нет рёбер, принадлежащих более чем одному простому циклу.

Теорема 3. Цикл и звезда — все с точностью до изоморфизма кактусы с полным разнообразием шаров.

ЛИТЕРАТУРА

1. Евдокимов А. А., Федоряева Т. И. О проблеме характеристики векторов разнообразия шаров // Дискрет. анализ и исслед. операций. 2014. Т. 21. № 1. С. 44–52.
2. Евдокимов А. А. Кодирование структурированной информации и вложения дискретных пространств // Дискрет. анализ и исслед. операций. Сер. 1. 2000. Т. 7. № 4. С. 48–58.
3. Евдокимов А. А. Вложения графов в n -мерный булев куб и интервальное кодирование таблиц // Вестник Томского государственного университета. Приложение. 2006. № 17. С. 15–19.
4. Харари Ф. Теория графов. М.: Мир, 1973.
5. Федоряева Т. И. Операции и изометрические вложения графов, связанные со свойством продолжения метрики // Дискрет. анализ и исслед. операций. 1995. Т. 2. № 3. С. 49–67.
6. Федоряева Т. И. Разнообразие шаров в метрических пространствах деревьев // Дискрет. анализ и исслед. операций. Сер. 1. 2005. Т. 12. № 3. С. 74–84.
7. Евдокимов А. А. Локально изометрические вложения графов и свойство продолжения метрики // Сиб. журн. исслед. операций. 1994. Т. 1. № 1. С. 5–12.

УДК 519.1

DOI 10.17223/2226308X/9/44

ОБ АТТРАКТОРАХ В КОНЕЧНЫХ ДИНАМИЧЕСКИХ СИСТЕМАХ ОРИЕНТАЦИЙ ПОЛНЫХ ГРАФОВ

А. В. Жаркова

Рассматриваются конечные динамические системы ориентаций полных графов. Состояниями системы являются все возможные ориентации данного полного графа, а эволюционная функция задаётся следующим образом: динамическим образом данного орграфа является орграф, полученный из исходного путём переориентации всех дуг, входящих в стоки, других отличий между исходным орграфом и его образом нет. Приводится критерий принадлежности состояний системы аттракторам, описывается формирование аттракторов системы, их вид, длина.

Ключевые слова: аттрактор, граф, конечная динамическая система, ориентация графа, полный граф, эволюционная функция.

Под *ориентированным графом* (или, для краткости, *орграфом*) понимается пара $\vec{G} = (V, \beta)$, где V — конечное непустое множество (*вершины* орграфа), а $\beta \subseteq V \times V$ — отношение на множестве V (пара $(u, v) \in \beta$ называется *дугой* орграфа с *началом* u и *концом* v). Отношение β называют *отношением смежности*. *Неориентированным графом* (или, для краткости, *графом*) называется пара $G = (V, \beta)$, где β — симметричное и антирефлексивное отношение на множестве вершин V . Дуги неориентирован-